

А. Х. МНАЦКАНЯН, Н. В. РЕВАЗОВА, Э. Х. ХУРШУДЯН

## ЦЕОЛИТЫ ИЗ ВЕРХНЕЮОРСКИХ—НИЖНЕМЕЛОВЫХ ВУЛКАНИЧЕСКИХ ПОРОД КАФАНСКОГО АНТИКЛИНОРИЯ

Минеральная группа цеолитов, исключительно широко развитая в вулканических брекчиях и лавах титон—средневаланжинской вулканической серии Кафанского антиклиория, морфологически связана с выполнением мелких гнезд, жеод, а также прожилков и миндалин, размер которых достигает 3—5 см в поперечнике. Специальное изучение этих минералов позволило выявить около шести разновидностей, детальная характеристика которых приводится в литературе по региону впервые.

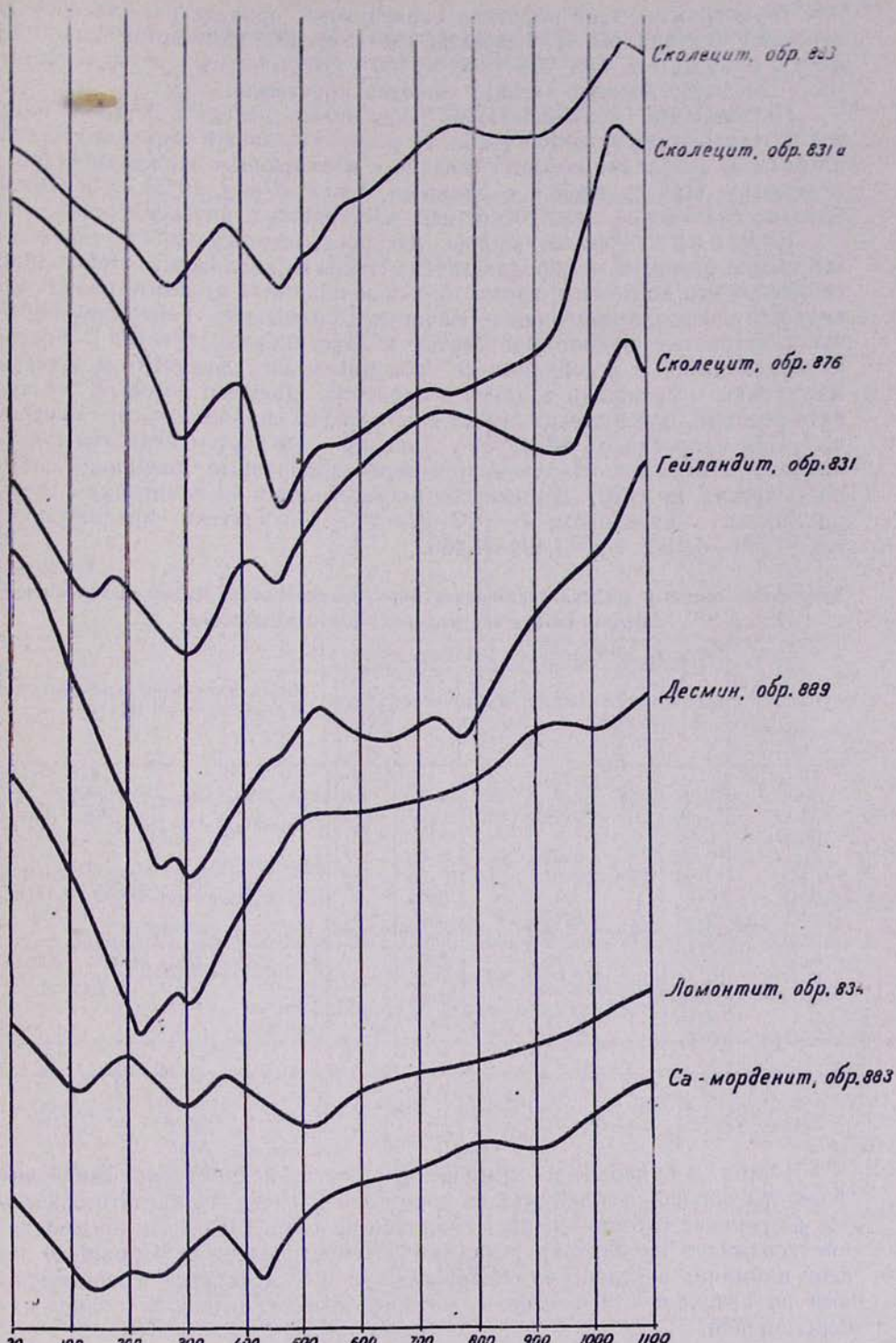
Основные разности цеолитов описываются ниже по следующим кристаллохимическим группам (Штрунц, 1965):

- 1—группа натролита (сколецит);
- 2—группа гейландита-десмина (гейландит, десмин);
- 3—группа ломонтита-жисмондина (ломонтит, кальциевый морденит);
- 4—группа гмелинита (гмелинит).

Сколецит—один из самых распространенных цеолитов и развит преимущественно в составе миндалин и гнезд андезито-базальтов и брекчий титон—средневаланжинской серии, особенно на северо-восточном крыле Кафанского антиклиория. Довольно крупные (5—8 см) выделения сколецита характерны для андезитов верхов Кармракарского разреза. Сколецит в миндалинах образует плотные, радиально-лучистые белые агрегаты, достигающие 3—5 см, а также нередко замещает вкрапленники плагиоклаза. Под микроскопом эти агрегаты представляют параллельные сростки удлиненных клиновидных кристаллов с тонким двойникование внутри отдельных индивидов. Двойники по закону осей; плоскость двойникования [100]; координаты двойниковой оси:  $Ng=85^\circ$ ,  $Nm=22.5^\circ$ ,  $Np=70.5^\circ$ . Видна отчетливая спайность по призме (110). Удлинение отрицательное ( $-$ )  $2V=36^\circ.38^\circ$ .  $CNp=13-15^\circ$ . Показатели преломления:  $Ng'=1.512-1.521$ ;  $Nm=1.509-1.515$ ;  $Np'=1.503-1.507$ . В некоторых образцах со сколецитом в тесных параллельных сростках отмечается изотропизированная разность, содержащая густковые выделения гематита и сильно пелитизированная;  $Nm$  этой разности—1.501. Возможно, она относится к метасколециту.

Химический состав и кристаллохимические формулы сколецитов приведены в табл. 1. Следует при этом отметить, что содержания Si и Al в каркасе постоянны и близко отвечают теоретической формуле.

Некоторые различия в составе катионов связаны с изоморфизмом по типу  $Ca^{+2} \rightarrow 2Na^{+1}$  и  $Ca^{+2} \rightarrow Sr^{-2}$ , обычным для натролитовой группы. По сравнению с теоретическим составом отмечается избыток воды, принятый за воду поглощенную.



Фиг. 1. Дифференциально-термические кривые минералов группы цеолитов.  
(Записаны И. Х. Петровским и С. О. Ачишгезяном).

Термограммы трех образцов сколециотов, приведенные на фиг. 1, отвечают эталону (В. П. Иванова, 1961). Резкие эндотермические эффекты отмечаются при 270—300 и 450—470°; подъем и небольшие пики при 900° отвечают распаду решетки кристалла.

Порошковые рентгенограммы изученных цеолитов (обр. 831а и 876) сходны между собой (табл. 2) и обнаруживают несколько линий натролита, появление которых связано с изоморфным вхождением  $\text{Na}^{+}$  в решетку. При сравнении с данными Пенга (Peng, 1955) отмечается близкое совпадение межплоскостных расстояний и интенсивностей.

Гейландит—также широко распространенный цеолит, преимущественно развитый в породах титона—среднего валанжина. Небольшие скопления его встречены, кроме того, в миндалинах андезито-базальтов верхнего оксфорда-киммериджа (Вачаган, Норашеник). Гейландит образует листоватые, лучисто-листоватые и пластинчатые сростки и постоянно находится в ассоциации со сколецитом или ломонитом, слагая миндалины и прожилки в лавах и брекчиях. Цвет его розовый, желто-вато-розовый, блеск стеклянный, на плоскостях спайности—перламутровый. Под микроскопом образует удлиненно-волокнистые агрегаты с пятнистым погасанием. Наблюдаются веретенообразные двойники; спайность четкая, по (010). В иммерсии раскалывается на пластинки с отрицательным удлинением;  $(-2V=34-36^{\circ})$ . Показатели преломления:  $\text{Ng}'=1,501-1,495$ ;  $\text{Nr}'=1,493-1,486$ .

Таблица 1  
Химический состав и кристаллохимические формулы сколецитов из мандельштейновых андезито-базальтов титона—среднего валанжина

Окислы	Образец 831а		Образец 876		Образец 883		Кристаллохимические формулы в пересчете на 10(O)
	весов. %	молек. кол-ва	весов. %	молек. кол-ва	весов. %	молек. кол-ва	
$\text{SiO}_2$	46,08	768	46,47	774	46,02	766	обр. 831а. $(\text{Ca}_{0,93} \text{Sr}_{0,13} \text{Na}_{0,14})_{113} [\text{Si}_{2,97} \text{Al}_{2,02} \text{O}_{10}] \cdot 3\text{H}_2\text{O} + 1,63\text{H}_2\text{O}$
$\text{Al}_2\text{O}_3$	26,60	261	26,50	260	27,70	272	
$\text{Fe}_2\text{O}_3$	0,31	2	—	—	0,07	1	
$\text{MgO}$	0,09	3	0,08	3	0,05	3	
$\text{CaO}$	13,90	248	12,01	214	10,20	182	обр. 876. $(\text{Ca}_{0,82} \text{Sr}_{0,02} \text{Na}_{0,40})_{1,21} [\text{Si}_{2,98} \text{Al}_{2,02} \text{O}_{10}] \cdot 3\text{H}_2\text{O} + 2,14\text{H}_2\text{O}$
$\text{BaO}$	0,01	—	сл.	—	0,04	—	
$\text{SrO}$	0,73	7	0,44	4	сл.	—	
$\text{Na}_2\text{O}$	1,10	18	3,20	52	2,04	32	обр. 883. $(\text{Ca}_{0,72} \text{Na}_{0,25})_{0,57} [\text{Si}_{2,98} \text{Al}_{2,02} \text{O}_{10}] \cdot 3\text{H}_2\text{O} + 2,8\text{H}_2\text{O}$
$\text{K}_2\text{O}$	0,02	—	сл.	—	0,04	—	
$\text{H}_2\text{O}^+$	10,74	—	12,02	667	13,30	744	
$\text{H}_2\text{O}^-$	0,06	600	—	—	0,06	—	
$\text{S}$	0,14	—	0,14	—	0,78	—	
$\text{P}_2\text{O}_5$	0,01	—	0,01	—	0,01	—	
$\Sigma$	99,79		100,87		99,81		

В табл. 3 приводятся химический состав и кристаллохимические формулы образца гейландита из миндалин и гнезд в андезито-базальтах и брекчиях титона—среднего валанжина (обр. 831 р.). Их рассмотрение указывает на близость состава к теоретическому. Обращает на себя внимание постоянство содержания  $\text{Al}$  и  $\text{Si}$  в каркасе и значительный по величине избыток воды, который следует относить к типу адсорбционной.

Дифференциально-термическая кривая образца гейландита (фиг. 1) сходна с эталонными. На ней отчетливо проявлены низкотемператур-

Таблица 2

Рентгенометрическая характеристика сколецита из андезито-базальтов  
титона—среднего валанжина

Образец 831а			Образец 876		
№ линии	J	d н	№ линий	J	d н
1	6	(7,360)	1	3	(7,17)
2	10	6,672	2	6	6,54
3	4	5,89	3	2	5,80
4	4	5,09	4	4	4,596
5	5	4,74	5	5	4,556
6	6	4,644	6	6	4,167
7	7	4,22	7	7	4,127
8	3	3,64	8	2	3,20
9	4	3,290	9	3	3,18
10	2	3,01	10	2	3,07
11	7	2,889	11	4	2,97
12	6	2,85	12	6	2,878
13	2	2,698	13	3	2,559
14	4	2,585	14	2	2,425
15	2	2,47	15	3	2,289
16	5	2,435	16	3	2,183
17	3	2,32	17	3	2,07
18	6	2,205	18	2	1,999
19	3	2,041	19	1	1,891
20	4	1,988	20	4	1,812
21	4	1,877	21	2	1,74
22	6	1,809	22	4	1,714
23	5	1,721	23	4	1,665
24	3	1,646	24	3	1,606
25	3	1,590	25	4	1,584
26	4	1,491	26	2	1,484
27	3	1,459	27	2	1,379
28	3	1,386	28	1	1,302
29	5	1,307	29	1	1,21
30	4	1,239			
31	3	1,212			

Таблица 3

Химический состав гейландита (обр. 831р) и десмина (обр. 889)

Окислы	Обр. 831р		Обр. 889		Кристаллохимические формулы в пересчете на 18(O)
	весовые % моль.	молек. кол-ва	весовые % моль.	молек. кол-ва	
SiO <sub>2</sub>	59,20	986	56,01	932	обр. 831 р. (Ca <sub>1,01</sub> Fe <sup>+3</sup> <sub>0,93</sub> Na <sub>0,1</sub> K <sub>0,03</sub> Sr <sub>0,03</sub> ) <sub>1,26</sub> [Si <sub>6,73</sub> Al <sub>2,27</sub> O <sub>18</sub> ] · 6H <sub>2</sub> O + 5H <sub>2</sub> O;
Al <sub>2</sub> O <sub>3</sub>	16,86	166	17,20	169	
Fe <sub>2</sub> O <sub>3</sub>	0,35	3	—	—	
CaO	8,32	148	8,80	157	
BaO	0,021	—	0,005	—	
SrO	0,52	—	0,38	—	
Na <sub>2</sub> O	0,56	5	0,70	4	обр. 889. (Ca <sub>1,11</sub> Sr <sub>0,03</sub> Na <sub>0,16</sub> K <sub>0,01</sub> ) <sub>1,31</sub> [Si <sub>6,61</sub> Al <sub>2,39</sub> O <sub>18</sub> ] · 7H <sub>2</sub> O + 6,7H <sub>2</sub> O
K <sub>2</sub> O	0,36	10	0,08	11	
H <sub>2</sub> O+	13,82	4	16,24	1	
H <sub>2</sub> O-	0,76	810	1,08	966	
S	0,14	—	0,14	—	
P <sub>2</sub> O <sub>5</sub>	0,01	—	0,01	—	
Σ	109,91		100,64		

ные эндотермические пики при 240 и 300—310°, отвечающие дегидрации поглощенной воды. Четкий экзотермический эффект отмечается при 500°, который сменяется эндотермической реакцией на интервале 600—650°, соответствующем удалению конституционной воды. Далее, при 900—1000° происходит распад кристаллической решетки.

Результаты рентгенометрического изучения гейланита из пород титона—среднего валанжина (табл. 4) указывают на близость полученной порошкограммы к эталонным. Устанавливаются вместе с тем интенсивные линии, отвечающие гмелиниту.

Таблица 4

Рентгенометрическая характеристика гейланита (обр. 831р)

№ линий	J	$\frac{d}{n} \text{ Å}$	№ линий	J	$\frac{d}{n} \text{ Å}$
1	ср.	(10,28)	11	с.	3,04
2	оч. с.	9,43	12	ср.	2,73
3	ср.	6,36	13	ср.	1,824
4	ср. с.	4,715	14	сл.	1,729
5	ср.	4,539	15	сл.	1,63
6	с.	4,122	16	сл.	1,60
7	ср.	3,76	17	сл.	1,55
8	ср.	3,51	18	ср.	1,44
9	ср.	3,37	19	ср сл	1,42
10	ср. сл.	3,20	20	сл.	1,249
			21	сл.	1,253

Десмин — часто встречающийся цеолит, слагающий совместно с гмелинитом, сколецитом и кальцитом миндалины и мелкие прожилки в лавах и брекчиях титона—среднего валанжина. Образует светло-розовые споповидные, волокнистые агрегаты со стекловатым блеском. В иммерсии имеет вид длинноволокнистых агрегатов с четко выраженной спайностью по (010); координаты полюса спайности:  $Ng=90^\circ$ ,  $Nm=0^\circ$ ,  $Np=90^\circ$ . Удлинение отрицательное;  $CNp=5-7^\circ$ . Оптически отрицательный с  $2V$  примерно  $36-38^\circ$ . Показатели преломления:  $Ng'=1,510$ ,  $Nm=1,507$ ,  $Np'=1,498$ .

Химический состав и кристаллохимическая формула десмина (табл. 3) соответствуют теоретическому составу. По значительному содержанию молекул воды в элементарной ячейке изученный десмин относится к относительно низкотемпературному образованию. Избыток воды следует относить к адсорбционному типу.

Термограмма образца десмина (фиг. 1) обнаруживает характерные для эталона эндотермические пики при 210 и 300°. Далее отмечается экзотермический подъем на интервале 450—500°, сменяющийся нечетким эндотермическим эффектом при 600°.

Результаты порошкограммы десмина из пород титона—среднего валанжина приведены в табл. 5. Характерны интенсивные рефлексы 9,002(10), 4,054(10), 3,02(10), 2,005(5), 1,775(5), 1,355(3).

Ломонтит — совместно с гейланитом и сколецитом встречается в гнездах в составе цемента вулканических брекчий титона—среднего валанжина; значительно реже отмечается в виде мономинеральных выполнений миндалины. По внешнему виду ломонтит образует светло-розовые, оранжево-желтые рассыпающиеся агрегаты. Под микроскопом имеет вид пластинчато-волокнистых агрегатов с волнистым погасанием. В иммерсии раздавливается на удлиненные пластиники с положительным знаком главной зоны;  $CNg=20-22^\circ$ . Наблюдается четкая спайность по (010); координаты полюса спайности:  $Ng=90^\circ$ ,  $Nm=0^\circ$ ,  $Np=90^\circ$ .

Таблица 5

## Рентгенометрическая характеристика десмина (обр. 889)

№ линий	J	$\frac{d}{n} \text{ } \text{ } z$	№ линий	J	$\frac{d}{n} \text{ } \text{ } z$
1	8		15	3	2,53
2	10	(9,99)	16	3	2,343
3	2	9,002	17	5	2,005
4	4	7,7	18	3	1,891
5	4	6,36	19	7	1,822
6	6	5,26	20	5	1,775
7	5	4,55	21	2	1,722
8	10	4,45	22	2	1,632
9	4	4,054	23	2	1,580
10	3	(3,72)	24	3	1,550
11	6	3,46	25	3	1,434
12	7	3,37	26	3	1,355
13	10	3,316	27	3	1,299
14	6	3,02			
		2,767			

(—)2V составляет 34—36°. Показатели преломления:  $Ng' = 1,505—1,510$ ,  $Nm = 1,501—1,507$ ,  $Np' = 1,493—1,503$ .

Химический состав и кристаллохимическая формула ломонита приводятся ниже, в табл. 6. Приведенные данные свидетельствуют о соответствии полученной формулы теоретической; отмечается лишь избыток воды, принятый нами за поглощенную.

Таблица 6

## Химический состав ломонита (обр. 834)

Окислы	Весовые %	Молек. колич.	Кристаллохимическая формула в пересчете на 12 (O)
SiO <sub>2</sub>	51,18	853	
Al <sub>2</sub> O <sub>3</sub>	23,90	234	
CaO	12,60	225	
MgO	0,08	3	
BaO	0,01	—	
SrO	0,70	7	
Na <sub>2</sub> O	0,08	2	
K <sub>2</sub> O	0,02	—	
H <sub>2</sub> O+	10,46	632	
H <sub>2</sub> O-	0,88	—	
S	0,20	—	
P <sub>2</sub> O <sub>5</sub>	0,01	—	
Σ	100,12		

Кривая нагревания образца ломонита (фиг. 1) обнаруживает сходство с эталоном. Низкотемпературные эффекты дегидратации лежат в области температур 120—130° и 300°; выделение кристаллизационной воды происходит при 500°.

Порошковая характеристика описываемого образца ломонита обнаруживает интенсивные рефлексы 10,18(8), 9, 22(10), 4,11(6), 3,24(5), 1,87(6), 1,556(7), характерные для эталона. Ряд линий, однако, принадлежит гармотому.

Кальциевый морденит встречается сравнительно редко и обнаружен в цементе брекчий титона—среднего валанжина у с. Арцва-

Таблица 7

## Рентгенометрическая характеристика ломонитта (обр. 834)

№ линий	J	$\frac{d}{n} \text{ \AA}$	№ линий	J	$\frac{d}{n} \text{ \AA}$
1	8	10·18	16	5	2·575
2	10	9·22	17	4	2·41
3	4	7·38	18	8	2·34
4	7	6·726	19	3	2·25
5	4	5·137	20	4	2·136
6	8	4·689	21	2	2·07
7	6	4·112	22	2	1·971
8	3	3·81	23	4	1·942
9	4	3·62	24	6	1·874
10	6	3·44	25	6	1·714
11	4	3·30	26	2	1·622
12	5	3·24	27	7	1·556
13	10	3·107	28	3	1·515
14	6	2·99	29	2	1·466
15	3	2·85			

ник, где ассоциирует с гейландитом, сколецитом и кварцем. Образует беловато-серые рассыпающиеся агрегаты. В иммерсионных препаратах виден агрегат игольчатых кристалликов с низким двупреломлением. Погасание прямое. Показатели преломления несколько завышены:  $N_g' = 1.497$ ,  $N_m' = 1.445$ ,  $N_p' = 1.493$ .

Химический состав кальциевого морденита приведен в табл. 8. Расчитанная кристаллохимическая формула по содержанию Si и Al в каркасе, а также по содержанию цеолитной воды близко отвечает теоретической. В сумме катионов заметно преобладает кальций, на основании чего минерал отнесен к кальциевой разновидности. Этим, видимо, можно объяснить и расхождение значений показателей преломления между описываемым морденитом и морденитами по справочникам.

Таблица 8

## Химический состав кальциевого морденита

Оксиды	Весовые %	Молек. колич.	Кристаллохимическая формула в пересчете на 24(O)
$\text{SiO}_2$	69,48	1157	( $\text{Ca}_{1,19}\text{Na}_{0,08}\text{K}_{0,26}\text{Sr}_{0,03}$ ) <sub>1,36</sub>
$\text{Al}_2\text{O}_3$	13,10	128	
$\text{CaO}$	7,90	141	$[\text{Si}_{19,75}\text{Al}_{2,20}\text{O}_{24}] \cdot 7\text{H}_2\text{O} + 0,85\text{H}_2\text{O}$
$\text{BaO}$	0,01		
$\text{SrO}$	0,41	4	
$\text{Na}_2\text{O}$	0,30	5	
$\text{K}_2\text{O}$	0,38	4	
$\text{H}_2\text{O}^+$	7,76	466	
$\text{H}_2\text{O}^-$	0,64		
S	0,12		
$\text{P}_2\text{O}_5$	0,01		
	100,11		

Для дифференциально-термической кривой кальциевого морденита (фиг. 1) характерно удаление воды при низких температурах (120°, 240°). Наблюдается, кроме того, дополнительный эндотермический эффект в интервале 400—420°, что отвечает выделению конституционной воды.

Гмелинит сравнительно редкий цеолит и встречен совместно с ломониттом в миндалинах андезито-базальтов и андезитов района Кармракарского перевала и у с. Арцваник. Образует ярко-розовые

Таблица 9

Рентгенометрическая характеристика  
гемелинита (обр. 888)

№ линий	J	$\frac{d}{\text{п. а.}}$	№ линий	J	$\frac{d}{\text{п. а.}}$
1	5	(10,28)	11	5	3,34
2	10	9,3	12	3	3,17
3	2	6,61	13	8	3,02
4	3	6,17	14	6	2,76
5	2	5,27	15	2	2,66
6	5	4,65	16	3	2,56
7	5	4,539	17	3	2,335
8	6	4,46	18	3	2,00
9	8	4,06	19	7	1,82
10	2	(3,72)			

### Некоторые особенности поствулканического метаморфизма верхнеюрских-меловых вулканических образований Кафанского антиклиниория

Каждая из верхнеюрских-меловых вулканических серий Кафанско-го региона характеризуется своеобразным комплексом минеральных новообразований, отражающим различный характер процессов, протекающих на поствулканическом гидротермальном этапе их формирования.

В породах верхнего оксфорда-кимериджа интенсивное позднее преобразование связано морфологически и генетически с замещением стекла и заполнением миндалин палагонитом, диабантитом, пеннином, пренитом, селадонитом и карбонатом, к которым в сравнительно небольшом количестве присоединяются пумпеллиит, а также цеолиты, халцедон. Наблюдается следующая общая последовательность выделения этих минералов: палагонит → диабантит → селадонит → кальцит; селадонит → пренит → пумпеллиит; палагонит → цеолит → хлорит → карбонат; селадонит → диабантит → халцедон → карбонат. В породах этого возраста вкрапленники плагиоклаза и темноцветных, за исключением оливина, остаются относительно свежими, слабо замещаясь карбонатом, хлоритом, селадонитом, изредка альбитом.

Более разнообразен комплекс минеральных новообразований в породах титон-средневаланжинской вулканической серии, интенсивно проявленный по всей площади их распространения. Образование этого комплекса шло в значительном температурном интервале, поскольку начало его восходит к обособлению палагонитового кристаллизационного остатка и разложению оливина на позднемагматическом этапе формирования долеритов, базальтов и андезито-базальтов. Эта стадия сменяется собственно гидротермальной низкотемпературной, на которой продолжается замещение вкрапленников оливина с образованием смеси слоистых силикатов с лимонитом и выносом железа и выделяется главная масса селадонита, диабантита, разнообразных цеолитов и карбоната. Значение таких минералов, как пренит и пумпеллиит, заметно убывает — пренит встречается в сравнительно небольшом количестве совместно с селадонитом, пумпеллиит почти полностью выпадает. Альбитизация вкрапленников плагиоклаза проявлена слабо. Последовательность заполнения миндалин и различных

Мелких прожилков представлена следующим образом: палагонит—диабантит—цеолиты—карбонат, причем лучистые цеолиты (сколецит, ломонит) образуются раньше пластинчатых (гейланит и десмин).

В эфузивах и брекчиях верхнеаптской серии минеральные новообразования представлены сравнительно слабо и, главным образом, продуктами замещения гиперстена и выполнениями миндалин. Это хлорит и халцедон с незначительным количеством селадонита и пренита в указанной последовательности.

Таким образом, рассмотренные серии верхнего оксфорда-кимериджа, титона—среднего валанжина и верхнего апта, хотя и обладают близким составом новообразованных минералов, четко различаются по распространенности отдельных минералов и интенсивности метаморфического процесса в целом. Характерными для верхнего оксфорда—кимериджа минералами являются селадонит+диабантит+пренит+пумпеллинит+халцедон; для титона—среднего валанжина—палагонит+цеолиты+диабантит+селадонит+халцедон; для верхнего апта—хлорит+халцедон.

В смене минеральных парагенезисов намечаются, следовательно, элементы вертикальной зональности, выраженной в приуроченности цеолит-палагонитовой и хлорит-халцедоновой ассоциаций к более высоким стратиграфическим уровням и менее эродированным участкам, и селадонит-диабантит-пренит-пумпеллинитовой ассоциации—к более погруженным участкам. Эти соотношения определялись, несомненно, температурными условиями и фактором глубинности.

По характеру метаморфизма и выпадению высоко- и среднетемпературных стадий все эти породы близко отвечают приповерхностной вулканической и субвулканической фациям глубинности, для которых весьма характерны низкотемпературная пропилитизация и так называемая «цеолитовая пропилитизация» (Д. С. Коржинский, 1961). Регионально распространенная цеолитовая ассоциация титона—среднего валанжина соответствует выделяемой в последние годы Кумбсом и др. (1959), Тернером (1962) цеолитовой фации, по которой проводится граница между диагенезом и метаморфизмом.

Во времени и в пространстве указанные приповерхностная и субвулканическая фации сменяют высоко- и среднетемпературные регионально-метаморфические фации (эпидот-актинолит-хлоритовую и безэпидотовую хлорит-альбитовую), характерные соответственно для залегающих в ядре Кафанского антиклиниория пород нижнего и верхнего байоса (Э. Г. Малхасян, 1966; Г. А. Саркисян, Э. М. Налбандян, 1967).

Сантонская вулканическая серия обладает своеобразным комплексом вторичных минералов (эпидот+альбит+хлорит+карбонат). Характерно отсутствие таких минералов, как цеолиты и селадонит; палагонит развит крайне незначительно. Наложение указанных более высокотемпературных минеральных новообразований на породы, залегающие в самых верхних частях стратиграфической колонки Кафанско-го антиклиниория, можно объяснить kontaktово-метаморфическими процессами, связанными с внедрением в верхнем эоцене-олигоцене интрузиев габбро-монцонит-граносиенитовой формации ( массив г. Арамазд и др.).

#### ЛИТЕРАТУРА

Иванова В. П. Термограммы минералов. Зап. Всес. минер. об-ва, ч. 90, вып. I, 1961.

Коржинский Д. С. Зависимость метаморфизма от глубинности в вулканогенных формациях. Тр. Лаб. вулканологии, вып. 19, 1961.

- Малхасян Э. Г. Постмагматические процессы юрского вулканического цикла Малого Кавказа. Тр. II Всес. вулк. совещания. В кн. «Современный вулканализм». Изд. «Наука», 1966.
- Саркисян Г. А., Налбандян Э. М. К вопросу о соотношении процессов пропилитизации и региональных зеленокаменных изменений в юрской вулканогенной формации Кафанского рудного поля. Изв. АН Арм. ССР, «Науки о Земле», № 4, 1967.
- Тернер Ф. и Ферхуген Дж. Петрология изверженных и метаморфических пород. ИЛ, 1962.
- Штруни Х. Минералогические таблицы. ИЛ, Гостехиздат, 1963.
- Coombes B. S., Ellis A. S., Fyfe W. S., Taylor A. M. The zeolite facies, with comments of the interpretation of hydrothermal syntheses. Geochimica et Cosmochimica acta. v. 17, № 1—2, 1959.
- Peng G. J. Thermal analysis of natrolite group. Am. Min., vol. 40, № 9—10, 1955.